

01

Сужение линии поглощения легких атомов щелочных металлов в атмосфере тяжелых инертных газов при росте интенсивности излучения

© А.И. Пархоменко¹, А.М. Шалагин^{1,2}¹ Институт автоматики и электрометрии Сибирского отделения РАН, 630090 Новосибирск, Россия² Новосибирский государственный университет, 630090 Новосибирск, Россия

e-mail: par@iae.nsk.su, shalagin@iae.nsk.su

Поступила в редакцию 19.03.2019 г.

В окончательной редакции 31.05.2019 г.

Принята к публикации 11.06.2019 г.

Исследован эффект сужения линии поглощения легких атомов щелочных металлов ${}^7\text{Li}$ и ${}^{23}\text{Na}$, находящихся в атмосфере тяжелого инертного газа Xe, при росте интенсивности внешнего излучения. Для атомов ${}^7\text{Li}$ при температуре $T = 300\text{ K}$ и давлении буферного газа ксенона $p_{\text{Xe}} = 0.002\text{ Torr}$ ширина линии на полувысоте уменьшается в 1.20 раза при росте интенсивности излучения от $1\ \mu\text{W}/\text{cm}^2$ до $2.5\ \text{mW}/\text{cm}^2$. Для атомов ${}^{23}\text{Na}$ при $T = 600\text{ K}$ и $p_{\text{Xe}} = 0.01\text{ Torr}$ ширина линии на полувысоте уменьшается в 1.29 раза при росте интенсивности излучения от $1\ \mu\text{W}/\text{cm}^2$ до $6\ \text{mW}/\text{cm}^2$. Эффект полевого сужения линии поглощения обусловлен, во-первых, тем, что столкновительная релаксация скоростей легких резонансных частиц в атмосфере тяжелых буферных частиц разбивается на два существенно различных по продолжительности этапа: релаксация по направлению скорости (быстрый этап) и релаксация по модулю скорости (медленный этап), и во-вторых, отсутствием столкновительных переходов между сверхтонкими компонентами основного состояния.

Ключевые слова: литий, натрий, буферный газ, столкновения, линия поглощения.

DOI: 10.21883/OS.2019.11.48505.118-19

Введение

В спектроскопии атомов одной из важнейших характеристик исследуемого объекта является ширина линии поглощения излучения. Хорошо известно, что с ростом интенсивности излучения ширина линии увеличивается вследствие эффекта насыщения (полевое уширение) [1–3]. В теоретической работе [4] обращено внимание на возможность принципиально иной ситуации: сужение линии поглощения легких атомов щелочных металлов (${}^7\text{Li}$, ${}^{23}\text{Na}$), находящихся в атмосфере тяжелых инертных газов (Xe, Kr), при росте интенсивности излучения. Расчеты [4] проведены на примере трехуровневой Λ -системы энергетических уровней поглощающих частиц (в данной задаче Λ -систему вполне можно использовать для моделирования легких атомов щелочных металлов) в модели газа Лоренца (предельный случай тяжелых буферных частиц $M \ll M_b$, где M и M_b — соответственно массы резонансной и буферной частиц). Оказалось, что эффект полевого сужения линии поглощения обусловлен, во-первых, оптической накачкой на сверхтонкие компоненты основного состояния и, во-вторых, тем, что столкновительная релаксация скоростей резонансных частиц при условии $M \ll M_b$ разбивается на два существенно отличающихся в (M/M_b) раз по продолжительности этапа: релаксация по направлению скорости

(быстрый этап) и релаксация по модулю скорости (медленный этап).

Проведенные в работе [4] расчеты полевого сужения линии поглощения носят сугубо оценочный характер, поскольку выполнены для идеализированного предельного случая $M/M_b \rightarrow 0$. Аналитические выражения для расчета формы линии поглощения, полученные в [4], дают правильные результаты именно для этого случая и описывают максимально возможное проявление полевого сужения линии поглощения. Возникает естественный вопрос о том, как будет проявляться полевое сужение при реальном соотношении масс резонансной и буферной частиц. Решение этой задачи можно получить только численными методами. Целью настоящей работы является детальное численное исследование эффекта полевого сужения линии поглощения в случае произвольного (в рамках условия $M/M_b \ll 1$) отношения масс резонансной и буферной частиц.

Исходные уравнения

В рассматриваемой задаче для расчета линии поглощения легких атомов щелочных металлов (${}^7\text{Li}$, ${}^{23}\text{Na}$) вполне можно использовать трехуровневую модель поглощающих частиц (рис. 1). Здесь уровни n, k — компоненты сверхтонкой структуры основного состояния

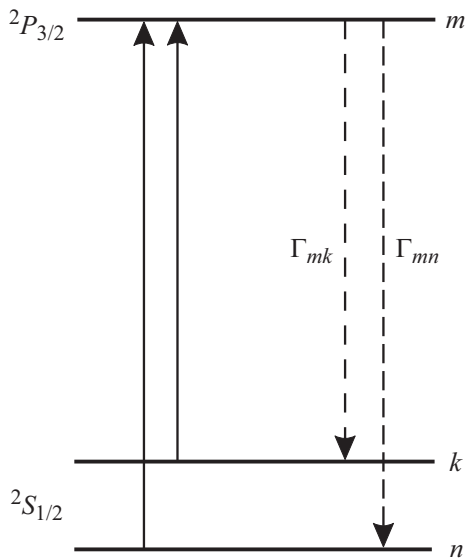


Рис. 1. Схема энергетических уровней. Прямыми стрелками обозначены переходы под действием излучения, штриховыми — спонтанные радиационные переходы.

$^2S_{1/2}$. Уровень m соответствует возбужденному электронному состоянию $^2P_{3/2}$ (для определенности будем рассматривать поглощение излучения в D_2 -линиях щелочных металлов). С уровня m частица радиационно релаксирует на уровни n и k с константами соответственно Γ_{mn} и Γ_{mk} . Эта схема уровней хорошо отражает реальную структуру основного и первого возбужденного состояний атомов ^7Li и ^{23}Na . Действительно, основной уровень $^2S_{1/2}$ этих атомов расщеплен на две сверхтонкие компоненты. Для атомов ^7Li и ^{23}Na сверхтонкое расщепление основного состояния равно соответственно $\omega_{kn} = 5.049 \cdot 10^9 \text{ s}^{-1}$ и $\omega_{kn} = 1.113 \cdot 10^{10} \text{ s}^{-1}$ [5] и сравнимо с доплеровской шириной резонансной линии. Поэтому основное состояние моделируется двумя уровнями n и k . Для атомов ^7Li и ^{23}Na уровень n характеризуется статистическим весом $g_n = 3$ (полный момент атома $F = 1$), а уровень k — статистическим весом $g_k = 5$ ($F = 2$). Уровень m (со статистическим весом g_m) моделирует группу уровней, представляющих собой компоненты сверхтонкой структуры возбужденного состояния $^2P_{3/2}$. Такое моделирование группы уровней одним уровнем возможно потому, что для атомов ^7Li и ^{23}Na сверхтонкое расщепление в этом возбужденном состоянии мало по сравнению с доплеровской шириной резонансной линии. Для атомов ^7Li и ^{23}Na статистический вес $g_m = 16$ при возбуждении D_2 -перехода (излучением затрагивается уровень $^2P_{3/2}$ с четырьмя сверхтонкими компонентами $F = 0, F = 1, F = 2, F = 3$).

Итак, рассмотрим газ трехуровневых поглощающих частиц (схема уровней поглощающих частиц показана на рис. 1), находящийся в смеси с буферным газом. Столкновениями между поглощающими частицами пренебрежем, полагая концентрацию буферного газа N_b

много большей концентрации поглощающего газа N . Взаимодействие поглощающих частиц газа с резонансным излучением в стационарных и пространственно однородных условиях описывается следующими уравнениями для распределений населенностей по скоростям $\rho_i(\mathbf{v})$ на уровнях $i = n, k, m$:

$$\begin{aligned} S_m(\mathbf{v}) + N[P_n(\mathbf{v}) + P_k(\mathbf{v})] - \Gamma_m \rho_m(\mathbf{v}) &= 0, \\ S_n(\mathbf{v}) - NP_n(\mathbf{v}) + \Gamma_{mn} \rho_m(\mathbf{v}) &= 0, \\ S_k(\mathbf{v}) - NP_k(\mathbf{v}) + \Gamma_{mk} \rho_m(\mathbf{v}) &= 0, \end{aligned} \quad (1)$$

где $N = N_n + N_k + N_m$ — полная концентрация поглощающих частиц, $N_i = \int \rho_i(\mathbf{v}) d\mathbf{v}$ — концентрация поглощающих частиц на уровне i , $S_i(\mathbf{v})$ — интегралы столкновений, $P_n(\mathbf{v})$ и $P_k(\mathbf{v})$ — вероятности поглощения излучения в единицу времени на переходах $n \rightarrow m$ и $k \rightarrow m$ в расчете на один поглощающий атом с заданной скоростью \mathbf{v} . Для рассматриваемой трехуровневой модели частиц скорости Γ_{mn} и Γ_{mk} спонтанного распада уровня m по каналам $m \rightarrow n$ и $m \rightarrow k$ подчиняются следующим соотношениям [6]:

$$\Gamma_{mn} + \Gamma_{mk} = \Gamma_m, \quad \frac{\Gamma_{mn}}{\Gamma_{mk}} = \frac{g_n}{g_k}, \quad (2)$$

где Γ_m — полная скорость спонтанного распада возбужденного уровня m . При взаимодействии поглощающих частиц с монохроматическим излучением вероятность поглощения излучения $P_i(\mathbf{v})$ в уравнениях (1) определяется следующим известным выражением:

$$NP_i(\mathbf{v}) = \frac{BI}{\pi} Y_i(\mathbf{v}) \left[\rho_i(\mathbf{v}) - \frac{g_i}{g_m} \rho_m(\mathbf{v}) \right],$$

$$B = \frac{\lambda^2 \Gamma_m}{4\hbar\omega} \frac{g_m}{g_n + g_k},$$

$$Y_i(\mathbf{v}) = \frac{\Gamma(v)}{\Gamma^2(v) + (\Omega_i - \mathbf{k}\mathbf{v})^2}, \quad \Gamma(v) = \frac{\Gamma_m}{2} + \gamma(v),$$

$$\Omega_i = \omega - \omega_{mi}, \quad i = n, k, \quad (3)$$

где B — второй коэффициент Эйнштейна для поглощения [6]; ω , λ , \mathbf{k} и I — частота, длина волны, волновой вектор и интенсивность монохроматического излучения; ω_{mi} — частота перехода $m \rightarrow i$; $\Gamma(v)$ — однородная полуширина линии поглощения, которая в общем случае зависит от скорости и является суммой спонтанной, $\Gamma_m/2$, и столкновительной, $\gamma(v)$, полуширин.

Для атомов щелочных металлов, находящихся в атмосфере инертных буферных газов, сечения столкновительных переходов $n \rightarrow k$, $k \rightarrow n$ между компонентами сверхтонкой структуры основного состояния очень малы — на 5–10 порядков меньше газокинетических сечений [7, с. 220]. Имея в виду эту ситуацию, далее будем рассматривать случай отсутствия столкновительного обмена между сверхтонкими компонентами n и k , т.е. будем полагать, что интегралы столкновений $S_n(\mathbf{v})$ и $S_k(\mathbf{v})$ в (1) обусловлены только упругим рассеянием. Тем

самым выполняются условия для проявления оптической накачки уровней сверхтонкой структуры основного состояния.

Далее будем рассматривать случай, когда легкие атомы щелочных металлов ${}^7\text{Li}$ и ${}^{23}\text{Na}$ находятся в атмосфере тяжелого инертного газа Xe. В этом случае для описания столкновений резонансных частиц с буферными частицами вполне подходит модель газа Лоренца, применимая при условии $M/M_b \ll 1$, где M и M_b — соответственно массы резонансной и буферной частиц. Действительно, для легких атомов щелочных металлов ${}^7\text{Li}$ и ${}^{23}\text{Na}$ условие $M/M_b \ll 1$ выполнено, если они находятся в атмосфере тяжелого инертного газа Xe ($M/M_b = 0.053$ для атомов ${}^7\text{Li}$ в Xe и $M/M_b = 0.175$ для атомов ${}^{23}\text{Na}$ в Xe). Для лоренцевского газа ($M/M_b \ll 1$) при упругом рассеянии интегралы столкновений в уравнениях (1) имеют следующий вид [8,9]:

$$S_i(\mathbf{v}) = \frac{M}{M_b} \frac{1}{v^2} \frac{d}{dv} \left[v^2 v_i(v) \left(v + \frac{v_T^2}{2} \frac{d}{dv} \right) \rho_i(\mathbf{v}) \right] + N_b v \int \sigma_i(v, \theta) [\rho_i(\mathbf{v}') - \rho_i(\mathbf{v})] d\mathbf{n}', \quad (4)$$

где

$$v_T = \sqrt{\frac{2k_B T}{M}}, \quad \cos \theta = \mathbf{n}\mathbf{n}', \quad \mathbf{n} = \frac{\mathbf{v}}{v}, \quad \mathbf{n}' = \frac{\mathbf{v}'}{v'}, \quad v' = v = |\mathbf{v}|, \quad i = n, k, m. \quad (5)$$

Здесь v_T — наиболее вероятная скорость поглощающих частиц; k_B — постоянная Больцмана; T — температура; \mathbf{v} и \mathbf{v}' — скорости поглощающей частицы до и после столкновения соответственно; $\sigma_i(v, \theta)$ — сечение упругого ($v' = v$) рассеяния на угол θ поглощающей частицы в состоянии i на буферной частице; $v_i(v)$ — транспортная частота столкновений поглощающей частицы в состоянии i с буферными частицами. Для газа Лоренца транспортная частота $v_i(v)$ отвечает за столкновения, изменяющие только направление скорости, но не ее величину. Заметное изменение абсолютной величины скорости легких поглощающих частиц происходит лишь в результате $M_b/M \gg 1$ столкновений, в то время как направление скорости меняется уже в одном столкновении. Дифференциальный и интегральный члены в (4) описывают соответственно изменение абсолютного значения и направления скорости легких поглощающих частиц при их столкновениях с тяжелыми буферными частицами.

Поглощающие атомы ${}^7\text{Li}$ и ${}^{23}\text{Na}$ на разных подуровнях сверхтонкой структуры основного состояния имеют практически одинаковые потенциалы взаимодействия в столкновениях с атомами буферного газа. Поэтому с большой точностью можно считать, что транспортные частоты столкновений на сверхтонких компонентах n и k равны между собой:

$$v_k(v) = v_n(v). \quad (6)$$

Для дальнейших расчетов удобно перейти к уравнениям для распределений населенностей по модулю скорости $\rho_i(v)$. Подставим интеграл столкновений (4) в уравнения (1) и проинтегрируем по направлениям скорости \mathbf{v} (по $\mathbf{n}/4\pi$). В итоге можно получить следующие уравнения:

$$\begin{aligned} \Gamma_{mn} \rho_m(v) &= N P_n(v) - \frac{M}{M_b} \frac{1}{v^2} \frac{d}{dv} \left[v^2 v_n(v) \left(v + \frac{v_T^2}{2} \frac{d}{dv} \right) \rho_n(v) \right], \\ \Gamma_{mk} \rho_m(v) &= N P_k(v) - \frac{M}{M_b} \frac{1}{v^2} \frac{d}{dv} \left[v^2 v_k(v) \left(v + \frac{v_T^2}{2} \frac{d}{dv} \right) \rho_k(v) \right], \\ \sum_{i=n,k,m} v_i(v) \left[v + \frac{v_T^2}{2} \frac{d}{dv} \right] \rho_i(v) &= 0, \end{aligned} \quad (7)$$

где

$$\rho_i(v) \equiv \int \rho_i(\mathbf{v}) \frac{d\mathbf{n}}{4\pi}, \quad P_j(v) \equiv \int P_j(\mathbf{v}) \frac{d\mathbf{n}}{4\pi}, \quad i = n, k, m, \quad j = n, k. \quad (8)$$

Последнее уравнение в (7) приведено в [8] для бесструктурных частиц и в [9] для двухуровневых частиц. Оно отражает вытекающее из уравнений (1) соотношение $S_m(\mathbf{v}) + S_n(\mathbf{v}) + S_k(\mathbf{v}) = 0$.

Поглощение слабоинтенсивного излучения

Для нахождения формы линии поглощения резонансных частиц ограничимся условием слабой интенсивности излучения, для чего должно выполняться условие

$$\kappa \equiv \frac{BI}{\pi\Gamma(\Gamma_m + v_m^{tr})} \ll 1. \quad (9)$$

Здесь мы ввели среднюю транспортную частоту столкновений v_i^{tr} , являющуюся результатом усреднения (см. ниже) частоты столкновений $v_i(v)$. Величина κ имеет смысл параметра насыщения: он характеризует степень выравнивания населенностей у частиц с резонансными скоростями (при $\Omega_i = \mathbf{k}\mathbf{v}$).

Отметим здесь, что при ограничении (9) на интенсивность излучения возможно выполнение условия

$$\kappa_0 \equiv \frac{BI}{\pi\Gamma} \frac{M_b}{M} \gg 1, \quad (10)$$

означающего, что скорость вынужденных переходов $BI/\pi\Gamma$ может быть достаточно велика для того, чтобы в распределениях населенностей по модулю скорости v на уровнях n, k возникали изотропные неравновесные структуры (скорость их столкновительной релаксации равна $v_n^{tr} M/M_b$). Именно этим обстоятельством — возникновением изотропных неравновесных структур на

сверхтонких компонентах основного состояния с ростом интенсивности излучения — обусловлен эффект полевого сужения линии поглощения.

Найдем вероятность поглощения $P_i(v)$ в условиях (9). При ограничении (9) на интенсивность излучения в формуле (3) для $P_i(v)$ можно пренебречь населенностью $\rho_m(v)$ и, кроме того, считать амплитуду анизотропной части распределения $\rho_i(v)$ на уровнях $i = n, k$ малой по сравнению с амплитудой изотропной части. Тогда

$$NP_i(v) = \frac{BI}{\pi} Y_i(v) \rho_i(v), \quad i = n, k, \quad (11)$$

где $\rho_i(v)$ — изотропная часть распределения $\rho_i(v)$. Проинтегрировав (11) по направлениям скорости \mathbf{v} , найдем вероятность поглощения излучения в единицу времени на переходе $i \rightarrow m$ частицей с фиксированным модулем скорости v :

$$NP_i(v) = \frac{BI}{2\pi k} \frac{\psi_i(v)}{v} \rho_i(v), \quad (12)$$

где

$$\psi_i(v) = \arctan \frac{kv + \Omega_i}{\Gamma(v)} + \arctan \frac{kv - \Omega_i}{\Gamma(v)}, \quad i = n, k. \quad (13)$$

Для полной интегральной вероятности поглощения излучения

$$P = 4\pi \int_0^\infty v^2 [P_n(v) + P_k(v)] dv \quad (14)$$

с помощью (12) находим

$$P = \frac{2BI}{kN} \int_0^\infty v [\psi_n(v) \rho_n(v) + \psi_k(v) \rho_k(v)] dv. \quad (15)$$

Нормированный на максимальное значение контур линии поглощения газа атомов определяется формулой

$$F = \frac{P}{P_{max}}, \quad (16)$$

где P_{max} — максимальное значение P .

Найдем связь между населенностями $\rho_n(v)$ и $\rho_k(v)$ в формуле (15) для вероятности поглощения излучения. Из третьего уравнения в (7), пренебрегая населенностью $\rho_m(v)$ (при условии (9) имеем $\rho_m(v) \ll \rho_n(v), \rho_k(v)$) и учитывая (6), получаем следующее уравнение:

$$\left[v + \frac{v_T^2}{2} \frac{d}{dv} \right] [\rho_n(v) + \rho_k(v)] = 0. \quad (17)$$

Применяя условие нормировки $N_n + N_k \simeq N$ (здесь учтено принятое нами приближение $N_m \ll N$), отсюда находим:

$$\rho_n(v) + \rho_k(v) = NW(v),$$

$$W(v) = (\sqrt{\pi} v_T)^{-3} \exp\left(-\frac{v^2}{v_T^2}\right), \quad (18)$$

где $W(v)$ — распределение Максвелла.

Формула (15) для вероятности поглощения излучения с учетом выражения (18) принимает вид

$$P = \frac{2BI}{k} \int_0^\infty v \left[\psi_k(v) W(v) + [\psi_n(v) - \psi_k(v)] \frac{\rho_n(v)}{N} \right] dv. \quad (19)$$

Из этой формулы, в частности, видно, что для двух-уровневых частиц (при $\omega_{kn} \rightarrow 0$ и, как следствие, при $\psi_n(v) = \psi_k(v)$) ширина линии поглощения не зависит от интенсивности излучения (при ограничении (9) на интенсивность излучения).

В выражении (19) для вероятности поглощения излучения находится одна неизвестная функция — распределение населенности по модулю скорости $\rho_n(v)$. Найдем уравнение для определения населенности $\rho_n(v)$. Сумма первых двух уравнений в (7) с учетом (6) дает

$$\Gamma_m \rho_m(v) = N [P_n(v) + P_k(v)] - \frac{M}{M_b} \frac{1}{v^2} \frac{d}{dv} \left[v^2 v_n(v) \left(v + \frac{v_T^2}{2} \frac{d}{dv} \right) [\rho_n(v) + \rho_k(v)] \right]. \quad (20)$$

При максвелловском распределении суммы населенностей по модулю скорости (18) дифференциальный член в (20) равен нулю. Поэтому уравнение (20) принимает вид

$$\Gamma_m \rho_m(v) = N [P_n(v) + P_k(v)]. \quad (21)$$

Далее из первого уравнения в (7), используя (21), (12), (18), (2), получаем следующее дифференциальное уравнение для определения населенности $\rho_n(v)$:

$$\frac{BI}{2\pi k v} \{ [w_n \psi_k(v) + w_k \psi_n(v)] \rho_n(v) - w_n \psi_k(v) N W(v) \} = \frac{M}{M_b} \frac{1}{v^2} \frac{d}{dv} \left[v^2 v_n(v) \left(v + \frac{v_T^2}{2} \frac{d}{dv} \right) \rho_n(v) \right], \quad (22)$$

где

$$w_i = \frac{g_i}{g_n + g_k}, \quad i = n, k. \quad (23)$$

Для численного решения задачи уравнение (22) целесообразно привести к следующему виду (здесь штрих в верхнем индексе означает дифференцирование по v):

$$v \rho_n''(v) + \left[2 + \frac{2v^2}{v_T^2} + \frac{v v_n'(v)}{v_n(v)} \right] \rho_n'(v) + \left\{ \frac{6v}{v_T^2} + \frac{2v^2 v_n'(v)}{v_T^2 v_n(v)} - \frac{Q}{v_T} \frac{v_n^{\text{tr}}}{v_n(v)} [w_n \psi_k(v) + w_k \psi_n(v)] \right\} \rho_n(v) + \frac{Q}{v_T} \frac{v_n^{\text{tr}}}{v_n(v)} w_n \psi_k(v) N W(v) = 0, \quad (24)$$

где введен безразмерный параметр

$$Q = \frac{BI}{\pi k v_T v_n^{tr}} \frac{M_b}{M}. \quad (25)$$

Решение уравнения (24) должно удовлетворять следующим граничным условиям:

$$\rho_n'(0) = 0, \quad \rho_n(v_0) \Big|_{v_0 \gg v_T} = 0. \quad (26)$$

Численный анализ полевого сужения линии поглощения

Дифференциальное уравнение (24) в общем виде можно решить только численно. Для выполнения дальнейших расчетов необходимо знать транспортную частоту столкновений $\nu_n(v)$ атомов ${}^7\text{Li}$ и ${}^{23}\text{Na}$ в основном состоянии с буферными частицами Xe. Связь транспортной частоты столкновений $\nu_i(v)$ в (24) с характеристиками элементарного акта рассеяния дается [9] известной формулой:

$$\nu_i(v) = \frac{\mu}{M} \frac{N_b \bar{v}_b}{\sqrt{\pi} v^3} \int_0^\infty u^2 \exp\left(-\frac{u^2 + v^2}{\bar{v}_b^2}\right) F(uv) \sigma_i(u) du, \quad (27)$$

где

$$F(uv) = \frac{2uv}{\bar{v}_b^2} \cosh\left(\frac{2uv}{\bar{v}_b^2}\right) - \sinh\left(\frac{2uv}{\bar{v}_b^2}\right),$$

$$\mu = \frac{MM_b}{M + M_b}, \quad \bar{v}_b = \sqrt{\frac{2k_B T}{M_b}}, \quad (28)$$

u — величина относительной скорости резонансной и буферной частиц до столкновения; $\sigma_i(u)$ — транспортное сечение рассеяния поглощающей частицы в состоянии i на буферной частице. Сечения $\sigma_i(u)$ рассчитывались нами по точным формулам классической механики (см., например, [10,11]) с использованием неэмпирических (рассчитанных *ab initio*) потенциалов взаимодействия для систем сталкивающихся частиц Li–Xe и Na–Xe [12]. Таблично заданные потенциалы взаимодействия интерполировались кубическими сплайнами.

На рис. 2 показаны рассчитанные по формуле (27) зависимости от скорости v транспортных частот столкновений $\nu_n(v)$ для атомов ${}^7\text{Li}$ и ${}^{23}\text{Na}$ в буферном газе Xe.

Средняя транспортная частота столкновений ν_i^{tr} определяется выражением

$$\nu_i^{tr} = \frac{2}{v_T^2} \int (\mathbf{e}\mathbf{v})^2 W(\mathbf{v}) \nu_i(v) d\mathbf{v}$$

$$= \frac{8}{3\sqrt{\pi}} \frac{\mu}{M} \frac{N_b}{u_T^5} \int_0^\infty u^5 \exp\left(-\frac{u^2}{u_T^2}\right) \sigma_i(u) du, \quad (29)$$

где $u_T = (2k_B T/\mu)^{1/2}$ — наиболее вероятная скорость относительного движения поглощающей и буферной

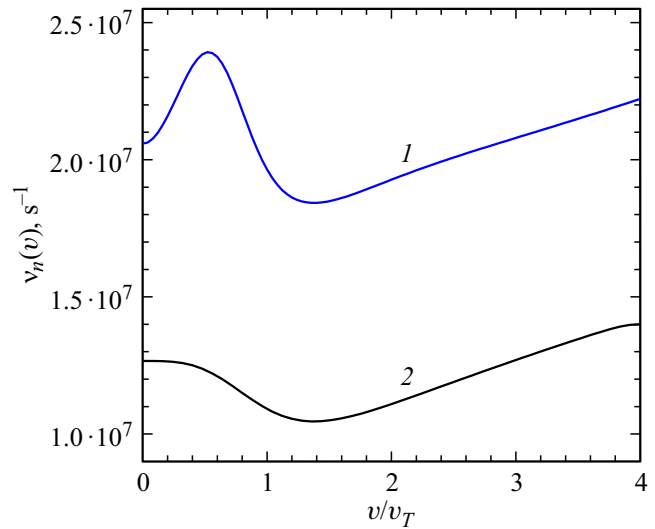


Рис. 2. Зависимость транспортной частоты столкновений $\nu_n(v)$ от модуля скорости v резонансных атомов при температуре $T = 300\text{ K}$ и давлении буферного газа ксенона $p_{\text{Xe}} = 1\text{ Torr}$ для систем сталкивающихся частиц ${}^7\text{Li}$ –Xe (1) и ${}^{23}\text{Na}$ –Xe (2). Расчет по потенциалам [12].

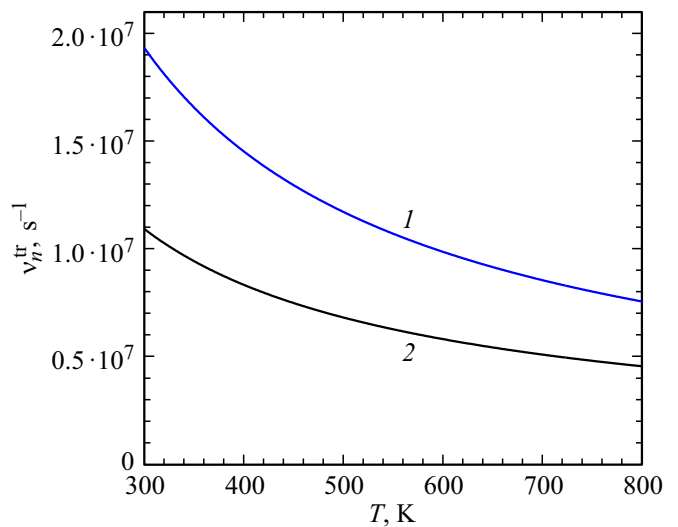


Рис. 3. Температурная зависимость средних транспортных частот столкновений атомов ${}^7\text{Li}$ (1) и ${}^{23}\text{Na}$ (2) в основном состоянии при их столкновении с атомами Xe при давлении газа ксенона $p_{\text{Xe}} = 1\text{ Torr}$. Расчет по потенциалам [12].

частиц; \mathbf{e} — единичный вектор в произвольно выбранном направлении. Частота столкновений ν_i^{tr} связана простой формулой с коэффициентом диффузии D_i частиц в состоянии i [9,13]:

$$D_i = \frac{v_T^2}{2\nu_i^{tr}}. \quad (30)$$

Результаты расчетов средних транспортных частот столкновений ν_n^{tr} для атомов ${}^7\text{Li}$ и ${}^{23}\text{Na}$ в основном состоянии, находящихся в буферной среде атомов ксенона, показаны на рис. 3.

Используя формулы (16), (19), (24), мы численно исследовали контур линии поглощения атомов ${}^7\text{Li}$ и ${}^{23}\text{Na}$ в инертном буферном газе Хе. Для атомов лития и натрия, согласно данным сайта NIST [14], скорости спонтанного распада возбужденного состояния ${}^2P_{3/2}$ равны $\Gamma_m = 3.69 \cdot 10^7 \text{ s}^{-1}$ и $\Gamma_m = 6.16 \cdot 10^7 \text{ s}^{-1}$ соответственно, длины волн D_2 -линии равны $\lambda = 670.8 \text{ nm}$ и $\lambda = 589.0 \text{ nm}$ соответственно. Анализ показывает, что влияние зависимости $\gamma(v)$ на эффект сужения линии поглощения незначительно и им можно пренебречь из-за того, что рассматривается случай большого доплеровского уширения. Именно поэтому при расчете контура линии поглощения мы пренебрегли зависимостью однородной полуширины линии поглощения $\Gamma(v)$ от скорости v и в формуле (13) для $\psi_i(v)$ полагали $\Gamma(v) = \Gamma = \text{const}$. Конкретные значения величин $\Gamma = \Gamma_m/2 + \gamma$ для разных систем сталкивающихся частиц $\text{Li}-\text{Xe}$ и $\text{Na}-\text{Xe}$ определялись по данным [15] для коэффициентов ударного уширения β линии поглощения ($\beta = 12.01 \text{ MHz/Torr}$ для атомов Li в атмосфере Хе и $\beta = 9.78 \text{ MHz/Torr}$ для атомов Na в атмосфере Хе).

Рисунки 4 и 5 иллюстрируют изменение формы и сужение линии поглощения атомов ${}^7\text{Li}$ и ${}^{23}\text{Na}$ в буферном газе Хе при росте интенсивности излучения. В качестве отстройки Ω частоты излучения здесь введена величина

$$\Omega = \omega - \omega_0, \quad \omega_0 = \frac{\omega_{mn} + \omega_{mk}}{2}. \quad (31)$$

Частота ω_0 соответствует среднему арифметическому значению частот переходов ω_{mn} и ω_{mk} . Из рис. 4 и 5 видно, что с ростом интенсивности излучения частота максимума поглощения атомов ${}^7\text{Li}$ и ${}^{23}\text{Na}$ немного сдвигается в коротковолновую сторону. Для атомов ${}^7\text{Li}$ при температуре $T = 300 \text{ K}$ и давлении буферного газа ксенона $p_{\text{Xe}} = 0.002 \text{ Torr}$ ширина линии на полувысоте уменьшается в 1.20 раза при росте интенсивности излучения от $1 \mu\text{W}/\text{cm}^2$ до $2.5 \text{ mW}/\text{cm}^2$ (рис. 4). Для атомов ${}^{23}\text{Na}$ при $T = 600 \text{ K}$ и $p_{\text{Xe}} = 0.01 \text{ Torr}$ ширина линии на полувысоте уменьшается в 1.29 раза при росте интенсивности излучения от $1 \mu\text{W}/\text{cm}^2$ до $6 \text{ mW}/\text{cm}^2$ (рис. 5). Сужение наиболее сильно проявляется при доплеровском уширении линии поглощения (при $\Gamma \ll kv_T$, низкое давление буферного газа). В случае однородного уширения (при $\Gamma \gg kv_T$, высокое давление буферного газа) эффект сужения линии отсутствует. Величина эффекта сужения также зависит от температуры. Для атомов ${}^7\text{Li}$ сужение проявляется сильнее при низких температурах ($T \approx 300 \text{ K}$), а для атомов ${}^{23}\text{Na}$, наоборот, при повышенных температурах ($T \approx 600 \text{ K}$).

На рис. 6 и 7 показаны рассчитанные на основе формул (16), (19), (24) ширины линии поглощения на полувысоте Γ_w для атомов ${}^7\text{Li}$ и ${}^{23}\text{Na}$ в зависимости от интенсивности излучения при различных значениях давления буферного газа Хе. Из рисунков

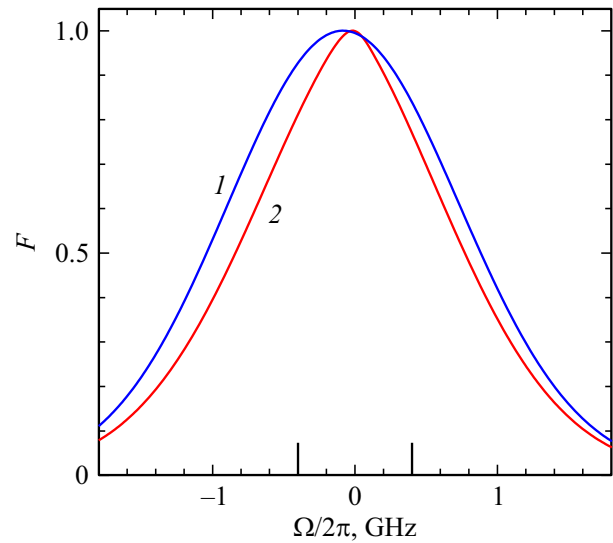


Рис. 4. Нормированный на максимальное значение контур линии поглощения атомов ${}^7\text{Li}$ в буферном газе Хе при $T = 300 \text{ K}$, $p_{\text{Xe}} = 0.002 \text{ Torr}$; 1 — $I = 1 \mu\text{W}/\text{cm}^2$, 2 — $I = 2.5 \text{ mW}/\text{cm}^2$. Вертикальными отрезками на оси абсцисс обозначены частоты, резонансные переходам $m - n$ и $m - k$.

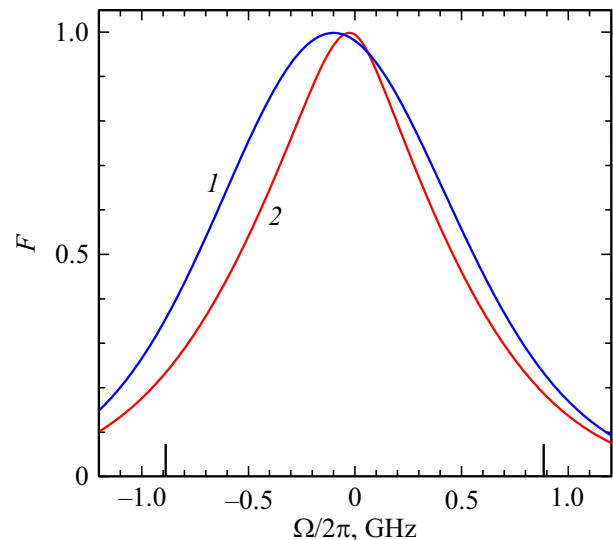


Рис. 5. Нормированный на максимальное значение контур линии поглощения атомов ${}^{23}\text{Na}$ в буферном газе Хе при $T = 600 \text{ K}$, $p_{\text{Xe}} = 0.01 \text{ Torr}$; 1 — $I = 1 \mu\text{W}/\text{cm}^2$, 2 — $I = 6 \text{ mW}/\text{cm}^2$. Вертикальными отрезками на оси абсцисс обозначены частоты, резонансные переходам $m - n$ и $m - k$.

видно, что ширина линии монотонно уменьшается с ростом интенсивности излучения (максимальное значение интенсивности излучения на рис. 6 и 7 ограничено условием (9) так, чтобы параметр насыщения χ не превышал значения 0.3). При одном и том же значении интенсивности излучения ширина линии поглощения тем меньше, чем меньше давление буферного газа.

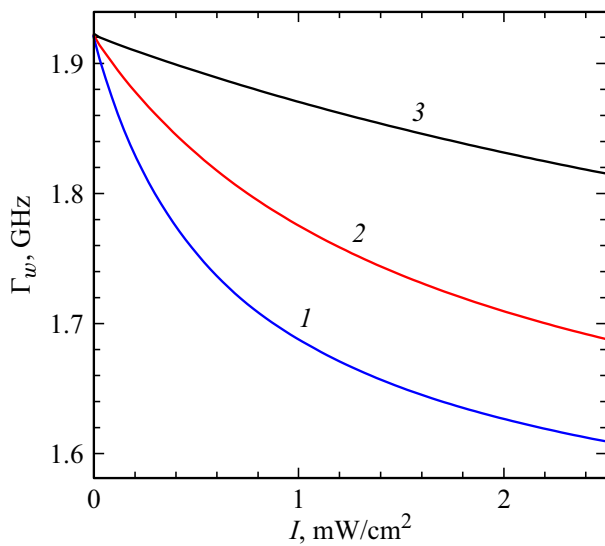


Рис. 6. Зависимость ширины линии поглощения атомов ${}^7\text{Li}$ от интенсивности излучения при различных значениях давления буферного газа Xe, $T = 300\text{ K}$; $p_{\text{Xe}} = 0.002$ (1), $p_{\text{Xe}} = 0.005$ (2), $p_{\text{Xe}} = 0.02$ Торр (3).

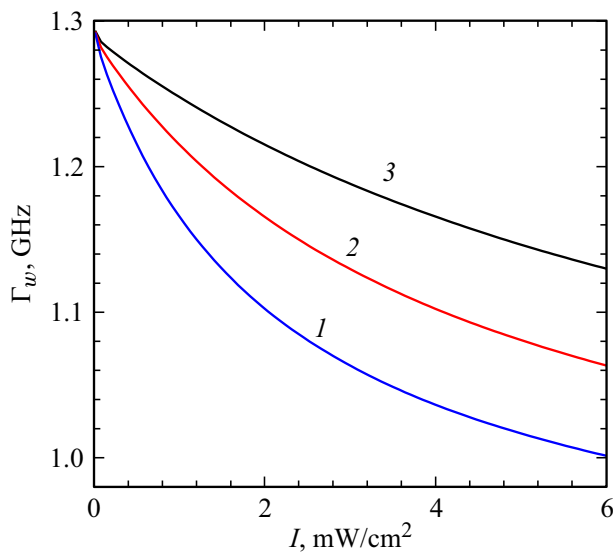


Рис. 7. Зависимость ширины линии поглощения атомов ${}^{23}\text{Na}$ от интенсивности излучения при различных значениях давления буферного газа Xe, $T = 600\text{ K}$; $p_{\text{Xe}} = 0.01$ (1), $p_{\text{Xe}} = 0.02$ (2), $p_{\text{Xe}} = 0.04$ Торр (3).

Для выяснения физической причины возникновения полевого сужения линии поглощения рассмотрим, как изменяются распределения населенностей $\rho_n(v)$ и $\rho_k(v)$ с ростом интенсивности излучения. На рис. 8 показаны распределения населенностей по модулю скорости на сверхтонких компонентах n и k основного состояния атомов ${}^7\text{Li}$ в буферном газе Xe при отстройке частоты излучения $\Omega/2\pi = -0.7\text{ GHz}$ и остальных параметрах таких же, как на рис. 4. Линия поглощения при параметрах рис. 8 доплеровски уширена ($\Gamma/kv_T = 0.0024$).

В доплеровском предельном случае ($\Gamma \ll kv_T$) с излучением на уровне $i = n, k$ взаимодействуют лишь те атомы, у которых абсолютная величина скорости $v \geq |\Omega_i|/k$, т.е. функция взаимодействия излучения с атомами $\psi_i(v)$ (13) имеет вид ступеньки, начинающейся при $v = |\Omega_i|/k$:

$$\psi_i(v) = \begin{cases} 0, & \text{если } 0 \leq v < |\Omega_i|/k, \\ \pi, & \text{если } v \geq |\Omega_i|/k. \end{cases} \quad (32)$$

Полная вероятность поглощения P (15) при учете (32) пропорциональна сумме интегралов от функций $v\rho_n(v)$

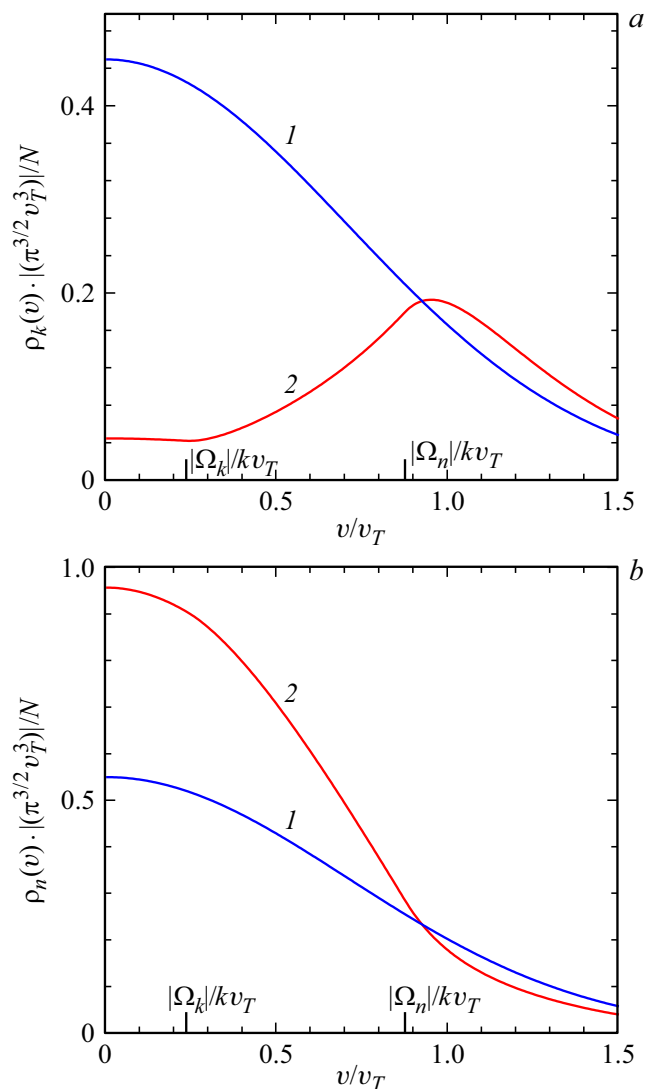


Рис. 8. Распределения населенностей по модулю скорости на сверхтонких уровнях k (a) и n (b) основного состояния атомов ${}^7\text{Li}$ в буферном газе Xe при $T = 300\text{ K}$, $p_{\text{Xe}} = 0.002$ Торр, $\Omega/2\pi = -0.7\text{ GHz}$; 1 — $I = 1\text{ mW/cm}^2$, 2 — $I = 2.5\text{ mW/cm}^2$. Вертикальными отрезками на осях абсцисс обозначены абсолютные величины скорости v , равные $|\Omega_n|/k$ и $|\Omega_k|/k$.

и $\nu\rho_k(v)$:

$$P \propto \int_{|\Omega_n|/k}^{\infty} \nu\rho_n(v) dv + \int_{|\Omega_k|/k}^{\infty} \nu\rho_k(v) dv. \quad (33)$$

Рассмотрим качественно распределение населенностей на уровнях n и k (рис. 8). Вследствие оптической накачки на уровень k «перекачиваются» с уровня n (через уровень m) частицы со скоростями $v \geq |\Omega_n|/k$, а на уровень n „перекачиваются“ с уровня k частицы со скоростями $v \geq |\Omega_k|/k$. В интервал скоростей $|\Omega_k|/k \leq v \leq |\Omega_n|/k$ на уровне k могут попасть только частицы, уже находящиеся на уровне k , причем приход частиц в этот интервал возможен только за счет упругих столкновений на уровне k и скорость этого прихода равна $\nu_n^{\text{tr}} M/M_b$. При низкой интенсивности излучения, такой, что $\chi_0 \ll 1$, никакого отклонения от максвелловского распределения по скоростям на уровнях n и k не происходит (кривые 1 на рис. 8). Ситуация, однако, резко изменяется при достаточно большой интенсивности излучения, такой, что $\chi_0 \gg 1$: населенность $\rho_k(v)$ в интервале скоростей $|\Omega_k|/k \leq v \leq |\Omega_n|/k$ обедняется и „не успевает“ наполниться за счет столкновений, а населенность $\rho_n(v)$ в этом же интервале растет (кривые 2 на рис. 8).

Из сравнения распределений 1 и 2 на рис. 8 с учетом выражения (33) для P следует, что при прочих равных условиях вероятность поглощения для распределений 2 будет меньше, чем для распределений 1. Это и означает, другими словами, сужение линии поглощения при переходе от распределений 1 к распределениям 2, т.е. сужение линии поглощения при росте интенсивности излучения.

Заключение

В настоящей работе численно исследован эффект сужения линии поглощения легких атомов щелочных металлов ${}^7\text{Li}$ и ${}^{23}\text{Na}$, находящихся в атмосфере тяжелого инертного газа Хе, при росте интенсивности излучения. При анализе использованы кинетические уравнения, упрощенные в соответствии с приближением $M/M_b \ll 1$. В этом приближении столкновительная релаксация скоростей резонансных частиц разбивается на два существенно различных по продолжительности этапа: релаксация по направлениям скорости (быстрый этап) и релаксация по модулю скорости (медленный этап). Для пар сталкивающихся частиц ${}^7\text{Li}-\text{Xe}$ и ${}^{23}\text{Na}-\text{Xe}$ соотношение $M/M_b \ll 1$ удовлетворительно выполняется.

Численный анализ показывает, что для атомов ${}^7\text{Li}$ и ${}^{23}\text{Na}$ ширина линии на полувывоте может уменьшиться в 1.2–1.3 раза при росте интенсивности излучения от $1 \mu\text{W}/\text{cm}^2$ до нескольких mW/cm^2 . Полевое сужение наиболее сильно проявляется при низких давлениях буферного газа $p_{\text{Xe}} = 0.002-0.02 \text{ Torr}$. Полевое сужение

линии поглощения возникает из-за сильного изменения распределения населенностей по модулю скорости на сверхтонких компонентах n и k основного состояния резонансных атомов с ростом интенсивности излучения при условии $M/M_b \ll 1$.

Финансирование работы

Исследование выполнено за счет средств субсидии на финансовое обеспечение выполнения государственного задания (проект № АААА-А17-117052210003-4) в Институте автоматизации и электрометрии Сибирского отделения РАН.

Конфликт интересов

Авторы заявляют, что у них нет конфликта интересов.

Список литературы

- [1] Раутиан С.Г., Смирнов Г.И., Шалагин А.М. Нелинейные резонансы в спектрах атомов и молекул. Новосибирск: Наука, 1979. 312 с.
- [2] Демтрёдер В. Лазерная спектроскопия: Основные принципы и техника эксперимента. М.: Наука, 1985. 608 с.; Demtröder W. Laser Spectroscopy: Basic Concepts and Instrumentation. Berlin, Heidelberg: Springer-Verlag, 2003. 1008 p.
- [3] Летохов В.С., Чеботаев В.П. Нелинейная лазерная спектроскопия сверхвысокого разрешения. М.: Наука, 1990. 512 с.; Letokhov V.S., Chebotayev V.P. Nonlinear Laser Spectroscopy. Berlin: Springer-Verlag, 1977. 466 p.
- [4] Гельмуханов Ф.Х., Пархоменко А.И. // ЖЭТФ. 1995. Т. 107. № 6. С. 1853; Gel'mukhanov F.Kh., Parkhomenko A.I. // JETP. 1995. V. 80. N 6. P. 1029.
- [5] Радциг А.А., Смирнов Б.М. Параметры атомов и атомных ионов: Справочник. М.: Энергоатомиздат, 1986. 344 с.; Radzig A.A., Smirnov B.M. Reference Data on Atoms, Molecules, and Ions. Berlin, Heidelberg: Springer-Verlag, 1985. 463 p.
- [6] Собельман И.И. Введение в теорию атомных спектров. М.: Наука, 1977. 320 с.; Sobel'man I.I. Introduction to the Theory of Atomic Spectra. Oxford, New York: Pergamon Press, 1972. 626 p.
- [7] Happer W. // Rev. Mod. Phys. 1972. V. 44. N 2. P. 169. doi 10.1103/RevModPhys.44.169
- [8] Лифшиц Е.М., Питаевский Л.П. Физическая кинетика. М.: Наука, 1979. 528 с.; Lifshitz E.M., Pitaevskii L.P. Physical Kinetics. Oxford, New York, Paris: Pergamon Press, 1981. 452 p.
- [9] Gel'mukhanov F.Kh., P'ichov L.V., Shalagin A.M. // Physica A. 1986. V. 137. N 3. P. 502. doi 10.1016/0378-4371(86)90092-0
- [10] Ферцигер Дж., Капер Г. Математическая теория процессов переноса в газах. М.: Мир, 1976. 556 с.; Ferziger J.H., Kaper H.G. Mathematical Theory of Transport Processes in Gases. Amsterdam, London: North-Holland Publishing Company, 1972.
- [11] Mason E.A., McDaniel E.W. Transport properties of ions in gases. N.Y., Toronto: John Wiley & Sons, 1988. 560 p.

- [12] *Galbis E., Douady J., Jacquet E., Giglio E., Gervais B.* // J. Chem. Phys. 2013. V. 138. N 1. P. 014314.
doi 10.1063/1.4773019
- [13] *Rautian S.G., Shalagin A.M.* Kinetic Problems of Nonlinear Spectroscopy. Amsterdam, N.Y.: Elsevier Science Publ. Comp., 1991. 439 p.
- [14] Электронный ресурс. Режим доступа:
<https://www.nist.gov/pml/atomic-spectra-database>
- [15] *Allard N., Kielkopf J.* // Rev. Mod. Phys. 1982. V. 54. N 4. P. 1103. doi 10.1103/RevModPhys.54.1103